

具有基因表达的进化 NAS 蜂窝编码编程

克利福德·布罗尼·贝迪亚科

日本东京八王子市创价大学科学与工程研究生院
e18d5252@soka-u.jp

Luiz HB Mormille科学与工程

程研究生院,日本东京八王子市 e18d5251@soka-u.jp

村田由纪

日本东京八王子市创价大学科学与工程研究生院
e19d5202@soka-u.jp

Masayasu Atsumi科学

与工程研究生院,日本东京八王子市
matsumi@soka.ac.jp

摘要 神经架构搜索 (NAS) 的复兴见证了经典方法,如遗传算法 (GA) 和遗传编程 (GP) 被用于卷积神经网络 (CNN) 架构。虽然最近的工作在视觉感知任务上取得了令人鼓舞的性能,但 GA 和 GP 的直接编码方案都存在功能复杂性缺陷,并且不能很好地扩展到像 CNN 这样的大型架构上。为了解决这个问题,我们提出了一种新的生成编码方案 符号线性生成编码 (SLGE) 简单但功能强大的方案,它将局部图变换嵌入线性固定长度字符串的染色体中,以通过基因表达编程的进化过程。在实验中,SLGE 的有效性体现在发现可提高最先进的手工 CNN 架构在 CIFAR-10 和 CIFAR-100 图像分类任务上的性能,并使用更少的 GPU 资源与现有的 NAS 方法实现具有竞争力的分类错误率。

索引词 神经结构搜索;卷积神经网络;基因表达编程;细胞编码

一、引言

从历史上看,进化神经架构搜索 (NAS) 研究在 AI 社区中引起了 30 年的兴趣 [1]。最近对深度学习自动化的兴趣日益浓厚,在过去三年中,基于强化学习 (RL) 和其他方法的新 NAS 方法取得了惊人的发展 [2]。然而,经典的 NAS 方法,如遗传算法 (GA) [3]、[4] 和遗传编程 (GP) [5] 也被用于开发用于视觉感知任务的卷积神经网络 (CNN)。除了取得有希望的结果外,经典 NAS 方法还比基于 RL 的竞争对手 [6] 消耗更少的计算资源 [4]。但是,GA 和 GP 的直接编码方案有两个固有的局限性:(1)

固定长度和 (2) 基因型和表型空间没有明显分开,这限制了它们的功能复杂性 [7]。

例如,遗传 CNN [3] 中采用的固定长度方案的染色体在大型架构上不能很好地扩展。

为了解决这些问题,EvoCNN [8] 在 GA 中引入了可变长度方案,并被 CA-CNN [4] 采用。可变长度方案用于编码类似于 GP 中非线性结构的可变形状和大小的 CNN 架构。尽管可变长度方案表现出一定程度的功能复杂性,但使用交叉操作重现并非没有困难。EvoCNN 和 CA-CNN 及其类似的 CGP-CNN [5] 交叉限制的原因是因为它们的基因型和表型空间没有明确分开,因此,遗传修饰直接受到表型结构的约束。

DENSER [9] 将 GA 与语法进化 (GE) 相结合,以类似于自然的方式分离基因型和表型空间。但是,GE 缺乏模块化,用模块修改语法不灵活[10]。为此,我们认为分离基因型和表型空间以生成用于视觉感知任务的 CNN 架构的进化 NAS 方法的开发仍处于起步阶段。

在这项工作中,我们引入了一种新的生成编码方案,符号线性生成编码,它将细胞编码 [11] 的局部图变换嵌入到基因表达编程 [7] 的简单线性固定长度染色体中,以开发各种形状的 CNN 架构和尺寸。此外,为了使进化过程能够发现架构的新主题,常规卷积操作被用作基本搜索单元,而不是 CA-CNN [4] 中的 ResNet 和 DenseNet 块等复杂的构建块。

在实验中,初步结果通过发现 CNN 架构在 CIFAR-10 图像数据集平台上获得 3.74% 的错误率证明了所提出方法的有效性

¹我们定义一个正则卷积运算为标准卷积使用批量归一化和 ReLU 进行操作。

标记和转移到 CIFAR-100 时的 22.95% 错误。结果与当前自动生成的 CNN 架构具有竞争力,并且改进了最先进的手工制作的性能。本文的其余部分组织如下。第 2 节讨论相关工作,第 3 节介绍所提出方法的细节。实验结果在第 4 节中报告,第 5 节总结了本研究的未来方向。

二.相关工作

A. 进化的NAS

演化 NAS 的大多数早期工作都在小范围内演化网络架构及其连接权重 [1]。最近的神经网络,如 CNN,已经扩展了数百万个连接权重,以提高给定任务的性能。**并且通过反向传播方法学习这些大型网络的连接权重优于进化方法。**因此,最近的进化 NAS 工作 [2] 专注于仅进化网络架构并使用反向传播方法来优化连接权重。

通常,固定长度的染色体用于表示网络架构 [3],[12],[13]。但是,由于给定数据的最佳架构形状和大小未知,使用直接编码方案的可变长度染色体已被用于架构,以适应给定任务的形状和大小 [4],[14], [15]。CGP-CNN [5] 使用笛卡尔 GP 来表示可变长度结构的 CNN 架构。为了摆脱直接编码的功能复杂性缺陷,DENSER [9] **将 GA 与 GE 相结合,采用基因型和表型空间区分,并明确使用语法来生成 CNN 架构的表型。**

通常,架构搜索空间分为两类:定义整个架构(宏架构)[4],[14]的全局搜索空间,以及用于发现可重复堆叠的微架构(单元)的基于单元的搜索空间构建整个架构 [13],[15]。**单元是一个有向无环图(DAG)**,它被用作构建块来形成架构。通过基于单元的方法发现的 CNN 架构是灵活的并且可以转移到其他任务 [16],并且它们比全局的 [17] 表现更好。流行的基于单元格的方法是 NASNet [16],它涉及两种类型的单元格:**普通单元格和缩减单元格(用于降低特征分辨率)。**

钟等。[18] 和刘等人。[15] 提出了类似的基于单元格的方法,但分别使用最大池和可分离卷积层来降低特征分辨率。

两个搜索空间中的基本搜索单元大多是复杂的卷积,例如 AmoebaNet [13] 中的深度可分离和非对称卷积,或 CA-CNN [4] 中的 ResNet 和 DenseNet 等复杂块。这些搜索单元降低了搜索空间的复杂性,但是,它们可能会损害灵活性并限制发现可以提高

当前手工制作的。因此,在这项工作中,我们使用常规卷积(第 III-A 节)。

B. 基因表达编程基因表达编程(GEP)是基

于GA和GP的成熟的基因型-表型进化方法。染色体由类似于 GA 中使用的线性固定长度基因组成,并在表型空间中开发为不同形状和大小的表达树,类似于 GP 中的解析树。这些基因在结构上以称为 Karva 符号的头部和尾部格式组织 [7]。具有**不同功能的基因型和表型空间的分离使 GEP 能够以超过 GA 和 GP 的高效性执行** [19]。

Ferreira [7] 提出 GEP 中的染色体可以完全编码 ANN 以通过进化过程发现架构。到目前为止,GEP 尚未被用于像 CNN 这样的复杂架构。GEP 的致命弱点是它的 Karva 表示法,它不允许候选解决方案的分层组合,这意味着进化好的图案在后代中大多被遗传修饰破坏 [20]。因此,为了采用 GEP 进行 CNN 体系结构搜索,我们提出了一种新的生成方案,该方案将基序自然地嵌入到 GEP 的 Karva 表达中作为单个染色体,从而将新的基因型表型映射封装在进化过程的 GEP 约定中。

C. 蜂窝编码

蜂窝编码(CE) **是一种基于简单局部图变换的生成编码**,它控制节点的划分,这些节点演变成不同形状和大小的 ANN。

图形转换由具有唯一名称的程序符号表示;这些符号描绘了一个语法树(程序),它封装了 ANN 通过从具有输入和输出节点的单个初始单元 2 进化过程的开发过程。CE 已经在广泛的问题上展示了它的效率,例如用于控制手推车上的两个杆的进化 ANN 和 6 足机器人的运动,可以在 Gruau [21] 中找到评论。

在这项工作中,我们采用了 CE 的四个转换函数并将它们嵌入到 GEP 的固定长度的单个染色体中,因为它们的转换——特别是 CPI 和 CPO [22] 生成类似于深度神经网络中突出的 ResNet 块的图案。我们简要解释了我们采用的四个功能,并参考 Gruau [11] 和 Gruau 和 Quatramaran [22] 以获得更深入的细节。图 1 描绘了 SEQ、CPO 和 CPI 转换函数的图形表示。

- 顺序划分(SEQ):将当前节点一分为二,并串联起来;子节点继承父节点的输出。
- CoPy Input division (CPI):它执行 SEQ,然后与父节点和子节点共享相同的输入。

2A unit在CE最初的想法中是单个神经元,但是在这个工作中,它代表了一个卷积层的神经元

- CoPy Output division (CPO):它执行 SEQ,然后与父节点和子节点共享相同的输出。
- 结束程序 (END):它停止开发过程。

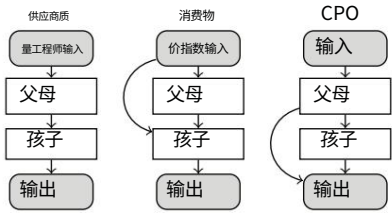


图 1:SEQ、CPI 和 CPO 转换函数示意图。

三、提议的方法

我们将 CNN 架构搜索问题表述如下。给定问题空间 $\Psi = \{A, S, P, tD, vD\}$, 其中 A 是架构搜索空间, S 表示搜索策略, P 表示性能度量, tD 和 vD 分别是训练和验证数据集, 目标是通过搜索策略 S 找到一个更小的 CNN 架构 $a \in A$, 然后在数据集 tD 上对其进行训练后, 它在验证数据集 vD 上最大化一些性能 P (在本例中为分类精度 $Pacc$)。这里的较小架构意味着参数 θ 数量较少的模型。在数学上, 目标函数 F 可以表示为:

$$F(\psi) = \max_{\theta, a} Pacc(L(a(\theta), tD|S, a \in A), vD) \quad (1)$$
$$st \text{ ModelSize}(a(\theta)) \leq Tparams$$

其中 L 表示用损失函数训练模型参数 θ , $Tparams$ 表示目标参数个数。在本节中, 我们描述了我们提出的架构搜索空间和搜索策略。

A. 搜索空间

搜索空间中的基本搜索单元由带有批量规范的常规卷积以及 ReLU 和 CE 程序符号组成。常规卷积单元可能使进化过程能够找到新的主题来形成 CNN 架构, 而不是预定义的架构 (深度可分离、非对称卷积、ResNet 和 DenseNet)。由于预定义的单元降低了架构搜索空间的复杂性, 它们可能会损害发现可以改进当前手工制作的新图案的灵活性。因此, 我们采用基于单元格的搜索方法 [16], 其中已发现单元格中的每个节点都与搜索空间中的规则卷积相关联, 而边表示潜在信息流方向。继 Zhong 等人之后。[18], 我们使用最大池来降低特征图分辨率, 并在必要时应用 1×1 卷积对输入深度进行下采样。

搜索空间中包含的常规卷积有: $1 \times 1, 1 \times 3, 3 \times 1$ 和 3×3 。每个操作都有一个步幅, 并应用适当的 pad 来保持空间

特征图的分辨率。CE 程序符号为: SEQ、CPI、CPO 和 END。搜索空间的复杂度可以表示为: $(\#program \ symbols)h \times (\#convolution \ operations)h+1 \times n$ possible architectures, 其中 h 是染色体中形成基因头部的 CE 程序符号的数量, n 是染色体中的基因数。例如, 一条 $h=2$ 和 $n=3$ 的染色体, 搜索空间包含 3072 种可能的结构。

B. 符号线性生成编码

使用特定编码方案将网络架构编码为基因型是进化 NAS 任务的第一阶段。我们提出了一种新的生成编码方案, 符号线性生成编码 (SLGE), 它将 CE 的局部图变换嵌入入到 GEP 的简单线性固定长度染色体中, 以开发不同形状和大小的 CNN 架构。SLGE 中的染色体可以通过 GEP 的进化过程进化出不同的基序来构建 CNN 架构。SLGE 明确地将基因型和表型空间与自然类似地分开, 以受益于进化过程的所有优势而没有功能复杂性缺陷。值得强调的是 SLGE 的实现是多么简单, 因为它是线性定长结构。我们在 geppy3 之上实现了 SLGE, geppy3 是一个基于 DEAP4 框架的 GEP 库。

1) 表示: 遗传表示定义了表型到基因型的编码。简单但有效且高效的表示会显着影响进化过程的整体性能。在 SLGE 中, 染色体的结构与 GEP 中的相似。染色体由等长定长串的基因组成。每个基因由一个由 CE 程序符号组成的头部和一个规则卷积的尾部组成。给定基因头的长度 h , 基因尾部的长度 t 是 h 的函数, 表示为 $t = h + 1$, 因此, 基因的长度为 $2h + 1$ 。图 2 是一个例子两个基因的典型 SLGE 染色体及其表型 (细胞) 如图 3 所示。

2) 映射和适应度函数: 映射算法将基因型 (染色体) 转化为表型 (细胞) 每一个都被重复堆叠以构建候选 CNN 架构 然后使用适应度函数对每个架构进行几个 epoch 的训练并评估为确定其在表型空间中的适应性质量, 然后将其映射回基因型空间, 在那里发生遗传变异以产生下一代的后代。该表示可以在数学上表示如下:

$$Fg(\phi g): \Phi g \rightarrow \Phi p \quad (2)$$

$$Fp(\phi p): \Phi p \rightarrow R \quad (3)$$

其中 Fg 是将一组基因型 $g \subset \Phi g$ 映射到表型空间 Φp 以形成个体架构的映射算法, Fp 表示训练每个个体架构 (表型) 的适应度函数 $p \in \Phi p$

3<https://geppy.readthedocs.io/en/latest/index.html>
4<https://deap.readthedocs.io/en/master/>

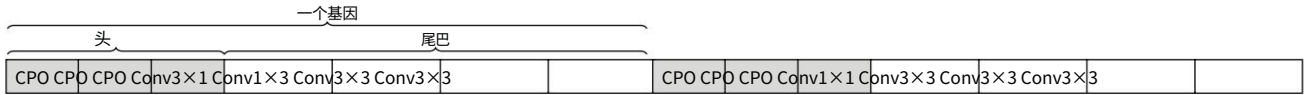


图 2:典型 SLGE 染色体的结构表示。染色体有两个等长的基因,每个基因的头部是三个CE程序符号,尾部是四个正则卷积操作。该染色体是用于构建表 II 中最佳进化发现网络的细胞基因型 (图 3)。

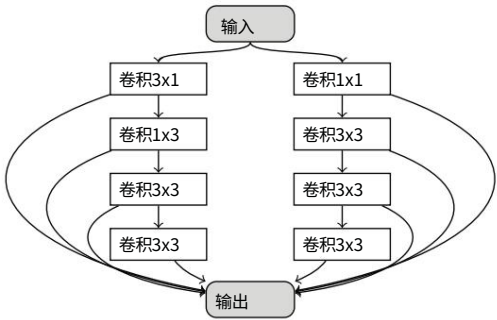


图3:图2中染色体的代表细胞,是表二中用来构建顶层网络的细胞。(一般来说,单元格中没有后继的卷积节点被深度连接以提供输出,如果一个节点有多个前驱,则将前驱参数加在一起。这是基于单元的搜索中的常用方法 [16].)

几个时期以确定其在适应度空间 R 中的适应度值。算法 1 和 2 是映射算法 F_g ,用于将染色体转换为 SLGE 中的细胞。这

算法以线性固定长度字符串的染色体作为输入,并产生代表候选细胞的 DAG。例如,给定图 2 中的染色体作为输入,算法 1 和 2 将产生图 3 中的细胞作为输出。

适应度函数 F_p 是等式 (1) 中目标函数 F 的替代项,其目的是找到一个个体架构,在模型大小约束下最大化验证数据集的分类精度。然而,由于我们在进化过程中在架构搜索空间中搜索单元,因此在其适应性评估中未考虑个体的模型大小约束。

相反,我们只对整个架构应用模型大小约束。因此,该函数只是方程 (1) 中的目标函数 F ,没有大小限制。损失函数用于通过在训练集和验证集上的反向传播来训练每个个体,适应度函数确定其适应度值,该值代表个体生存的概率。适应度值越高,个体就越有可能产生后代并存活到下一代。

3) 进化过程:我们采用 GEP 中的进化过程,并参考 Ferreira [7] 了解此处介绍的步骤的详细信息。

步骤 1:初始化 随机生成均匀分布的 SLGE 染色体种群。

第 2 步:映射 应用映射函数 F_g 将单个染色体翻译成细胞。

算法 1 基因型-表型映射函数 F_g 输入:线性定长字符串 $g \in \Phi_g$ 的染色体
输出:有向无环图 DAG (cell) 1: $n \leftarrow \text{len}(g)$

```
//染色体中的基因数 g 2: DAG.init(null) //
用空节点初始化单元 //有输入和输出节点3: for i ← 1 to n do ← g[i]

4:  $\phi(i)$  //获取染色体中的基因 g 5:创建基因
(i)中所有卷积的队列 Q 6:  $pnode \leftarrow Q.\text{dequeue}(0)$  //父节点7:
 $cnode \leftarrow Q.\text{next}()$ 

//子节点8: G
← subgraph( $pnode$ ) //初始化 DAG 的子图 //for (i) with  $pnode$  //
有输入和输出节点
```

```
9:  $pos \leftarrow 0$ 
10: while  $|Q| > 0$  do
11:  $ps \leftarrow g[pos]$  //获取CE程序符号
12: if  $ps = \text{"END"}$ 
13: then DAG.merge( $G$ ) //合并子图G到DAG
//在输入和输出节点

14: 返回
15:如果结束
16: TRANSFORM( $G, ps, pnode, cnode$ ) //算法2 17:  $pnode$ 
←  $Q.\text{dequeue}(0)$  18:  $cnode \leftarrow Q.\text{next}()$   $pos \leftarrow pos + 1$  20:
end while 21: DAG.merge( $G$ ) 22:结束23:返回DAG
19:
```

第 3 步:适应度 用每个单元构建候选 CNN 架构,并通过反向传播训练每个,并使用适应度函数 F_p 评估其适应度。

第四步:选择 通过精英主义的轮盘赌策略选择个体形成下一代种群。

第 5 步:突变 随机突变染色体中的所有元素。必须保留结构规则 (例如,卷积元素不能分配给基因头)。

第 6 步:倒置 随机倒置单个染色体基因头中的某些元素序列。

第 7 步:转置 将一些元素序列随机替换为相同色度中的连续元素
一些。必须保留结构规则。

Step 8: Recombination 两点交叉两个染色体的基因元件。由于 SLGE 染色体是

算法 2 CE 局部图变换过程。

它通过CE程序ps将基因子图G与父节点pnode进行转换生成子节点cnode。

1: procedure TRANSFORM(G, ps, pnode, cnode)

2: if ps = “SEQ” then succ ←

3: list(G.successors(pnode)) for node in succ

4: do G.addEdge(cnode, node)

5:

6: G.removeEdge(pnode, node)

7:结束G.addEdge(pnode, cnode) 9:结

8: 束如果

10: if ps = “CPI” then

11: pred = list(G.predecessors(pnode))

12: succ = list(G.successors(pnode)) for

13: node in pred do G.addEdge(node,

14: cnode) 15: end for for node in succ

16: 做G.addEdge (cnode,节点)

17:

18: G.removeEdge(pnode, node)

19: G.addEdge(pnode, cnode)结束

20:

21:如果结束

22: 如果ps = “CPO”

23: then succ = list(G.successors(pnode))

24: for node in succ do G.addEdge(cnode,

25: node)

26:结束

27: G.addEdge(pnode, cnode)

28:结束如果

29:结束过程

输入

↓

父母

↓

孩子

↓

输出

输入

↓

父母

↓

孩子

↓

输出

输入

↓

父母

↓

孩子

↓

输出

类似于 GEP 中的固定长度字符串,执行两点交叉总是会产生有效的染色体。

Step 9:如果不满足max generation则转Step 2;否则返回具有最高适应度的个体作为最佳发现细胞。

四、实验

初步实验旨在验证所提出方法的有效性,以发现在图像分类任务上表现良好的 CNN 架构的单元。我们进行了八次实验,四种不同的染色体配置各有两种 (表 II),随机搜索作为基线。搜索是在 CIFAR-10 [23] 数据集上进行的,发现的最佳架构被转移到 CIFAR-100 [23]。实验在一台 11GB GPU GeForce GTX 1080 Ti 机器上进行了 20

天。我们使用 PyTorch5 实现了所有架构,并使用 fastai6库进行了训练。这些代码可在 https://github.com/cliffbb/geppy_nn 获得。

5<https://pytorch.org/>
6<https://docs.fast.ai/>

范围	价值
精英人数	
突变率	1 0.044
反转和转置率	0.1 2
反转和换位元素长度	
两点/基因重组率	0.6/0.1

表 I :搜索过程的进化参数。

染色体	网络	错误	参数
基因=2,头=2	B=[3, 3, 2]	3.93	3.2M
	B=[3, 3, 2]	3.84	2.7M
基因=2,头部=3	B=[3, 3, 1]	3.74	2.8M
	B=[2, 3, 1]	3.85	2.7M
基因=3,头部=2	B=[3, 3, 1]	4.24	3.5M
	B=[3, 3, 1]	4.03	3.4M
基因=3,头部=3	B=[3, 3, 2]	4.19	3.4M
	B=[3, 3, 2]	5.07	3.0M

表 II :四种不同染色体配置的实验结果。我们在每个配置上运行进化搜索两次,搜索后,用 C=40 从头开始训练并报告 CIFAR-10 上的分类错误率 (%)。黑体字是最好的结果。

A. 进化环境

我们使用了 20 个个体的小群体,因为 GEP 能够解决相对复杂的小群体问题 [24],并且生成 20 个个体以降低搜索过程的计算成本。用于每次运行的其他进化参数设置总结在表 I 中,这些是 GEP 中的默认设置。

B. 训练细节

每个网络以输出通道大小为 C 的 3×3 卷积干开始,然后是表示为 B=[b1, b2, b3] 的三个块 每个块 i 由bi次的重复单元组成,最大池化层插入它们之间以下采样 然后是分类器。最大池化将每个块的特征映射减少了一半。每次最大池化操作后,通道都会加倍。

在搜索过程中,CIFAR-10 50k 训练集被分成 40k 训练和 10k 验证子集并进行归一化。我们使用了 C=16 和 B=[1, 1, 1] 的相对较小的网络。每个候选网络都在训练子集上进行训练,并在验证子集上进行评估以确定其适应度值

在 Smith [32] 中使用 1-cycle 策略和 Adam 优化器。学习率设置为从 0.004 线性上升到 0.1,而动量在第一阶段从 0.95 线性上升到 0.85,然后在第二阶段,学习率遵循余弦退火从 0.1 到 0,而动量从 0.85 上升到 0.95同样退火。权重衰减设置为 0.0004,批量大小设置为 128,训练周期设置为 25。

搜索后,我们设置 C=40,并将每个进化发现的单元重复堆叠以构建受模型大小约束Tparams≤3.5M 的大型 CNN 架构。

我们在 800 个时期的训练和验证子集上从头开始训练每个 CNN 架构,并报告 CIFAR-10 10k 测试数据集上的分类错误。学习率保持在前 350 个时期的搜索期间,并且

2674

授权许可使用限于:河北工业大学。从 IEEE Xplore 下载于 UTC 时间 2023 年 2 月 1 日 16:58:39。限制适用。

模型	CIFAR-10	CIFAR-100	参数 GPU-days 方法			
ResNet-110 [25]	6.61	-	1.7M	-	手工制作	
ResNet-1001 (激活前)[26]	4.62	22.71	10.2M	-		
分形网 [27]	5.22	23.30	38.6M	-		
密集网 (k=12)[28]	4.10	20.20	7.0M	-		
DenseNet-BC (k=40) [28]	3.46	17.18	25.6M	-		
MetaQNN (顶级模型)[29]	6.92	27.14	11.2M	100	加强	
NASv2 [6]	6.01	-	2.5M	22,400		
NASv3 [6]	4.47	-	7.1M	22,400		
Block-QNN-S (更多过滤器)[18]	3.54	18.06	39.8M	96		
NASNet-A (6 @ 768) [16]	3.41	-	3.3M	2,000		
ENAS + 镂空 [17]	2.89	-	4.6M	0.5		
DARTS (一阶)+镂空 [30]	3.00 ± 0.14	-	3.3M	1.5	基于梯度	
DARTS (二阶)+镂空 [30]	2.76 ± 0.09	-	3.3M	4		
P-DARTS + 镂空 [31]	2.50	-	3.4M	0.3		
P-DARTS + 镂空 [31]	-	17.20	3.4M	0.3		
遗传 CNN [3]	7.10	29.05	-	17	进化的	
大规模进化 [14]	5.40	-	5.4M	2,750		
大规模进化 [14]	-	23.0	40.4M	2,750		
等级进化 [15]	3.63	-	-	300		
CA-CNN [4]	4.30	-	2.0M	27		
CA-CNN [4]	-	20.85	5.4M	36		
变形虫网-A [13]	3.34	-	3.2M	3,150		
SLGE Networks (我们的方法)	C=40, B=[3, 3, 1]	3.74	22.95	2.8M	20	进化的
	C=40, B=[3, 3, 2]	3.84	24.47	2.7M	20	进化的
	C=40, B=[4, 4, 3]	4.47	-	3.2M	4	随机搜索

表 III:基于 CIFAR-10 和CIFAR-100 数据集。

在第一阶段从 0.00012 重置为 0.003,在 1 周期策略的第二阶段从 0.003 重置为 0。我们像 He 等人一样增加了训练子集。 [25],其他超参数与搜索期间保持不变。

C. 在 CIFAR-10 上搜索

为了研究 SLGE 的有效性,我们对四种不同配置的染色体进行了进化搜索 2 个头部为 2 和 3 的基因,以及 3 个头部为 2 和 3 的基因。每个基因在 CIFAR-10 数据集上运行两次。

具有 3 个头部的 2 个基因的染色体发现了获得 3.74% 分类错误的最佳结构 (表 II) 。结果与表 III 中的其他搜索方法进行了比较。 a) 与手工网络相比:SLGE 网络提高了最流行的手工网络的性能。 SLGE 的分类误差分别比 ResNet-1001 和 FractalNet 低 0.8% 和 1.4%,参数很少。然而,DenseNet-BC (k=40) 比使用更多参数的 SLGE 网络表现更好。

b) 与增强NAS网络相比 :表明SLGE对MetaQNN和NASv2分别实现了大约 3.2%和2.3%的错误率提升 ;并与 Block-QNN-S (使用更多参数)和 NASNet-A (消耗更多 GPU 资源)竞争。通过 cutout augmentation 和更多的 1.8M 参数,ENAS 使用 0.5 GPU days 实现了比 SLGE 低 0.9% 的错误率。

c) 与基于梯度的 NAS 网络相比:使用 cutout augmentation 方法,DARTS 和 P-DARTS 使用较少 GPU天数实现分类错误率约为

分别比 SLGE 低 0.9% 和 1.2%。然而,SLGE 网络的参数少于 DARTS 和 P DARTS。 d) 与进化 NAS 网络相比:SLGE 的性能明显优于遗传 CNN 和大规模进化,但略落后于最先进的 Hierarchical Evolution 和 AmeobaNet-A 网络。

SLGE 分别消耗了 Hierarchical Evolution 和 AmeobaNet-A 消耗的 0.06 和 0.006 GPU 计算日。

D. 随机搜索

为了评估 SLGE 表示方案的有效性,执行了一个简单的随机搜索作为基线。我们从顶部染色体随机生成了 10 个独立网络的群体 (表 II) ;在 CIFAR 10 上使用 500 个 epochs 的相同训练设置从头开始训练,没有任何进化修改。表 III 中报告了具有最低分类错误的网络。我们在十个单独的网络中实现了 5.85% 的平均分类误差和 1.77% 的标准偏差。

这是一个相当有竞争力的结果,证明了我们提出的具有常规卷积搜索单元的 SLGE 方案的有效性。

E. CIFAR-100 评估

在 CIFAR-10 任务上学习的顶级架构在 CIFAR-100 上进行了实验,以评估进化发现的细胞的可转移性。 CIFAR-100 具有与 CIFAR-10 相似的特性,但有 100 个类,这使得分类任务相当具有挑战性。我们只是转移

CIFAR-10 的最佳架构 (表 II),但使用 100 个类别的分类器头从头开始训练,所有训练设置保持不变。我们实现了 MetaQNN 和 Genetic CNN 分别提高 4.1% 和 6.1% 的分类错误,并与其他网络竞争 (表 III)。

F. 讨论

我们从初步的实验结果中做出一些观察。用 2 个基因的染色体开发的网络比用 3 个基因的染色体开发的网络表现更好,这是我们最意想不到的。顶部网络的进化发现的单元 (图 3)具有类似于 DenseNet 的拓扑结构,具有格式良好的非对称卷积。

这强调了所提出方法的有效性,未来将进行进一步的实验以确定其稳健性。总的来说,CIFAR 10 和 CIFAR-100 分类任务的初步结果非常有希望,尽管没有调整进化参数。因此,自然的未来方向是调整进化参数,并将任务扩展到最具挑战性的 ImageNet 分类任务,以验证所提出方法的通用性。

五. 结论

我们提出了一种有效的进化方法,该方法基于将 CE 元素嵌入 GEP 染色体的表示方案,发现高性能细胞作为 CNN 架构的构建块。我们表明,即使使用简单的随机搜索策略,我们的 SLGE 表示方案与常规卷积单元相结合也可以获得显着的结果。我们的顶级网络在 CIFAR-10 和 CIFAR-100 数据集上都获得了与最先进网络极具竞争力的性能。除了第 IV-F 节中的观察之外,我们将继续改进所提出的方法并将其扩展到其他视觉任务,例如语义分割和对象检测。

参考

[1] X. Yao, “进化的人工神经网络”,IEEE 会刊,卷。87,没有。9,第 1423-1447 页,1999 年。
[2] T. Elsken,JH Metzen 和 F. Hutter,“神经架构搜索:A 调查”,JMLR,卷。20,没有。55,第 1-21 页,2019 年。
[3] L. Xie 和 A. Yuille,IEEE ICCV 中的“Genetic CNN”。IEEE,2017,页。1388-1397。
[4] Y. Sun,B. Xue,M. Zhang 和 GG Yen,“基于块的完全自动化的 CNN 架构设计。”IEEE 神经网络和学习系统汇刊,第 1-13 页,2019 年。
[5] M. Suganuma,S. Shirakawa 和 T. Nagao,“设计卷积神经网络架构的遗传编程方法”,载于第 27 届 IJCAI 会议记录,2018 年,第 5369-5373 页。
[6] B. Zoph 和 QV Le,“使用强化学习进行神经架构搜索”,载于第 5 届国际学习表征会议论文集,2017 年。
[7] C. Ferreira,基因表达编程:人工智能的数学建模。施普林格,2006 年。
[10] JM Swafford,M. O'Neill,M. Nicolau 和 A. Brabazon,“用语法进化中的模块探索语法修改”,遗传编程,2011 年,卷。6621,第 310-321 页。

[8] Y. Sun,B. Xue,M. Zhang 和 GG Yen,“用于图像分类的进化深度卷积神经网络”,IEEE Transactions on Evolutionary Computation,卷。24,没有。2,第 394-407 页,2020 年。
[9] F. Assunco,N. Lourenco,PMachado 和 B. Ribeiro,“DENSER:深层进化网络结构化表示”,Genetic Prog.和进化机器,卷。20,没有。1,第 5-35 页,2019 年。
[11] F. Gruau,“使用细胞编码和遗传算法的神经网络合成”。博士论文,L'universite Claude Bernard-Lyon I,1994。
[12] T. Desell,“使用志愿计算的卷积神经网络的大规模演化”,Proc. GECCO,2017 年,第 127-128 页。
[13] E. Real,A. Aggarwal,Y. Huang 和 QV Le,“图像分类器架构搜索的正则化演化”,Proc. 美国人工智能协会,2019 年。
[14] E. Real,S. Moore,A. Selle,S. Saxena,YL Suematsu,J. Tan,QV Le 和 A. Kurakin,“图像分类器的大规模演变”,第 34 届 JMLR 会议记录,卷。70,2017, pp. 2902-2911。
[15] H. Liu,K. Simonyan,O. Vinyals,C. Fernando 和 K. Kavukcuoglu,“Hierarchical representations for efficient architecture search”,第六届 ICLR 会议记录,2018 年。
[16] B. Zoph,V. Vasudevan,J. Shlens 和 QV Le,“学习可扩展图像识别的可迁移架构”,IEEE CVPR 会议论文集,2018 年,第 8697-8710 页。
[17] H. Pham,M. Guan,B. Zoph,Q. Le 和 J. Dean,“通过参数共享进行高效的神经架构搜索”,第 35 届 ICML 论文集,卷。80,2018, p. 4095-4104。
[18] Z. Zhong,J. Yan,W. Wu,J. Shao 和 C.-L. Liu,“实用的块式神经网络架构生成”,载于 IEEE CVPR 会议论文集,2018 年,第 2423-2432 页。
[19] J. Zhong,L. Feng 和 Y.-S. Ong,“基因表达编程:一项调查”,IEEE Comp Intelligence 杂志,卷。12,没有。3,第 54-72 页,2017 年。
[20] X. Li,C. Zhou,W. Xiao 和 PC Nelson,“前缀基因表达编程”,GECCO 会议记录,2005, p. 25-31。
[21] F. Gruau,“优化和编译中的人工细胞开发”,Towards Evolvable Hardware,1996, vol. 1062,第 48-75 页。
[22] F. Gruau 和 K. Quatramaran,“交互式进化机器人的细胞编码”,CWI,阿姆斯特丹, Tech.众议员,1996 年。
[23] A. Krizhevsky,V. Nair 和 G. Hinton,“从微小图像中学习多层特征”,2009 年 (2020 年 2 月 3 日访问)。[在线的]。可用:https://www.cs.toronto.edu/~kriz/cifar.html [24] C. Ferreira,“问题解决中的基因表达编程”,在 Soft 比较.和行业:最近的应用,2002 年,第 635-653 页。
[25] K. He,X. Zhang,S. Ren 和 J. Sun,“用于图像识别的深度残差学习”,载于 IEEE 会议论文集.关于 CVPR,2016 年,第 770-778 页。
[26] K. He,X. Zhang,S. Ren 和 J. Sun,“深度残差网络中的身份映射”,ECCV 会议记录,2016 年,第 630-645 页。
[27] G. Larsson,M. Maire 和 G. Shakhnarovich,“Fractalnet:无残差的超深度神经网络”,ICLR 会议记录,2017 年。
[28] G. Huang,Z. Liu,L. v.d Maaten 和 KQ Weinberger,“密集连接的卷积网络”,IEEE CVPR 会议论文集,2017 年,第 2261-2269 页。
[29] B. Baker,O. Gupta,N. Naik 和 R. Raskar,“使用强化学习设计神经网络架构”,第 5 届国际学习表征会议论文集,2017 年。
[30] H. Liu,K. Simonyan 和 Y. Yang,“DARTS:可微架构搜索”,国际学习表征会议论文集,2019 年。
[31] X. Chen,L. Xie,J. Wu 和 Q. Tian,“渐进式可微分架构搜索:弥合搜索和评估之间的深度差距”,国际计算机视觉会议论文集,2019 年,第. 1294-1303。
[32] LN Smith,“神经网络超参数的规范方法:第 1 部分 学习率、批量大小、动量和权重衰减”,2018 年,arXiv:1803.09820v2 [cs.LG]。